

# تولد منخفضات العروض الوسطى في صور الأقمار الصناعية

(أنواعها)



د. عبدالله عبد الرحمن عبدالله  
مدير عام الإدارة العامة لتدريب الفنيين على الرصد الجوي ندبا  
المراجعة العلمية: د. أشرف صابر

وفقاً للتصور الأولى لتقسيم «مكلينن ونيل» McLennan and Neil (١٩٨٨) وتطويرة عن طريق «يونج» Young (١٩٩٣) فيمكن تقسيم أنواع تولد المنخفضات تبعاً للتقسيم التالي:

## ■ عن طريق السحب الركامية الشديدة أو سحب الكاما (enhanced Cu or comma clouds)

- في الهواء البارد العلوي Cold Air.
- بالإطباق الفوري Instant Occlusion.
- بإنفصال التدفق العلوي Split flow.

## ■ عن طريق حزمة السحب الرئيسية للجبهة

Main frontal cloud band

• الامتداد الرئيسي للحوض (الترف)  
meridional trough

• الترف المفلطح، التدفق المتشتت  
Flat trough, diffluent flow

• الموجة المحفزة لتولد المنخفضات  
induced wave

• الحوض المفلطح، التدفق المتجمع

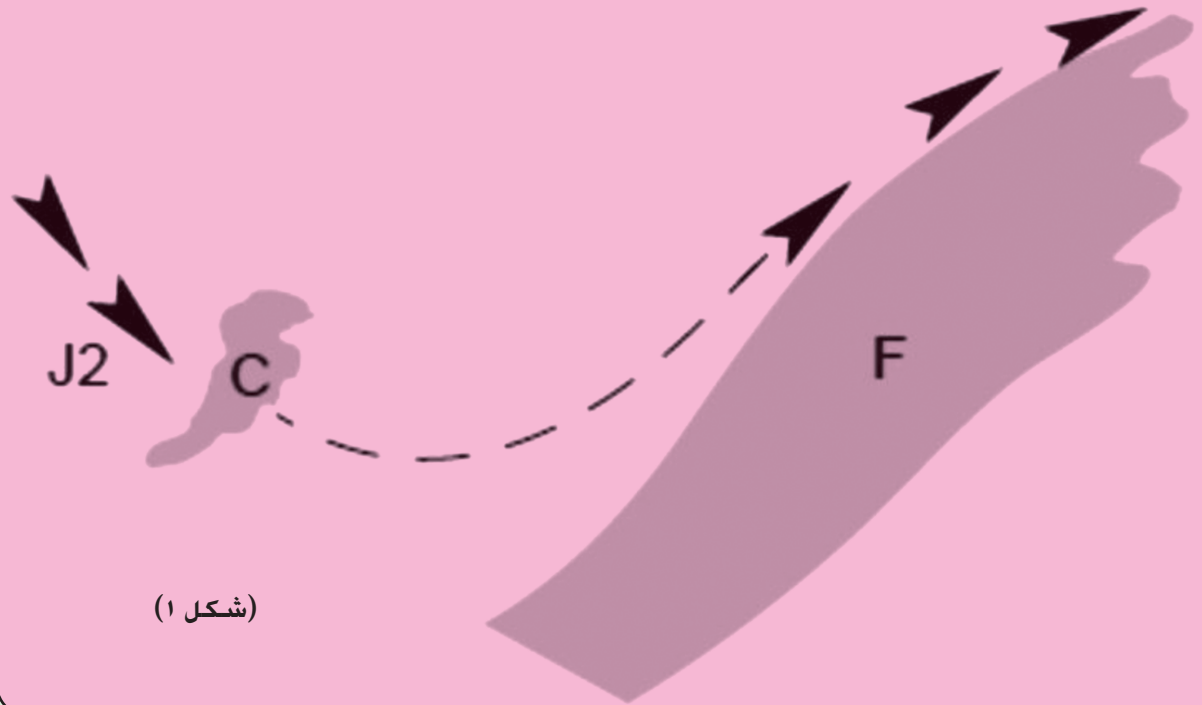
Flat trough, confluent flow (cloud head)

فمن الواضح في النهاية أنه يوجد سبعة أنواع من تولد المنخفضات جميعها متولدة إما من السحب الركامية الشديدة وسحب الكاما أو من حزمة سحب الجبهة الأساسية.

سوف نستعرض في هذه المقالة تولد المنخفضات عن طريق السحب الركامية الشديدة أو سحب الكاما،

استعرضنا في المقالة السابقة مقدمة عن كيفية تحديد بعض المفاتيح والمؤشرات الرئيسية لتولد منخفضات العرض الوسطى والدلائل والمواصفات الأساسية لأنماط السحب التي تسبق تكون المنخفضات، واستعرضنا أنماط السحب F & C & E والتي من خلال طرق تكونها وانحنائهما ودورانها يمكن أن نتوقع نشوء الدوامات الهوائية التي تتطور بدورها في تكوين المنخفضات في العرض الوسطى.

في هذا المقال سوف نستعرض أنواع المنخفضات المكونة في العرض الوسطى وإمكانية التنبؤ بها من خلال ملاحظتنا لأنماط السحب سالفه الذكر من صور الأقمار الصناعية، وكذلك الاستدلال عليها من بعض العناصر الجوية والتي يمكن الحصول عليها ببساطة من مخرجات نماذج التنبؤات العددية.



(شكل ١)

٣٥٠ ميلاً بحريًا (٦٠٠ كم) بين منطقة الحركة الدورانية الموجبة Positive Vorticity Advection (PVA) الناشئة أمام حوض الموجة القصيرة، C، وحزمة السحب F المصاحبة للجبهة الباردة على سطح الأرض. باستخدام صور الأقمار الصناعية، يفترض البعض لتولد المنخفضات أما إذا كانت المسافة أكبر من ٣٠٠ كم بين الغيوم C و F لاندماجمهم مع بعضهم البعض، فمن المرجح أن تتطور C وحدتها لتكون حالة منفصلة لتكوين منخفض جوي.

#### ١-١- تولد منخفضات العروض الوسطى في الهواء البارد (Cold air cyclogenesis)

الأشكال التوضيحية (١-٢ إلى ٣-٢) توضح تطور منطقة سحب الكُما C أو السحب الركامية الشديدة وموسيها:

■ على يمين حوض الهواء العلوي «الترف» (Upper Trough) في التدفق الصاعد Upstream).

■ متحركة حول موضع الترف العلوي، تدور وتوسّع، مع حركة Ci المتحركة مع التدفق الهاابط «للترف».

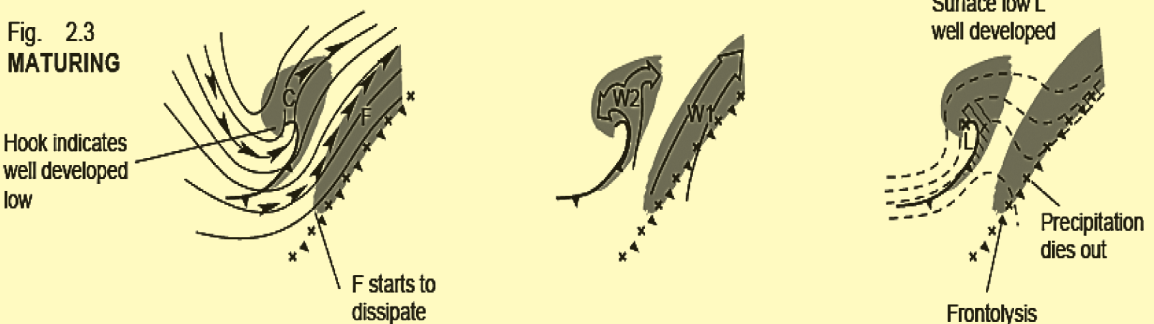
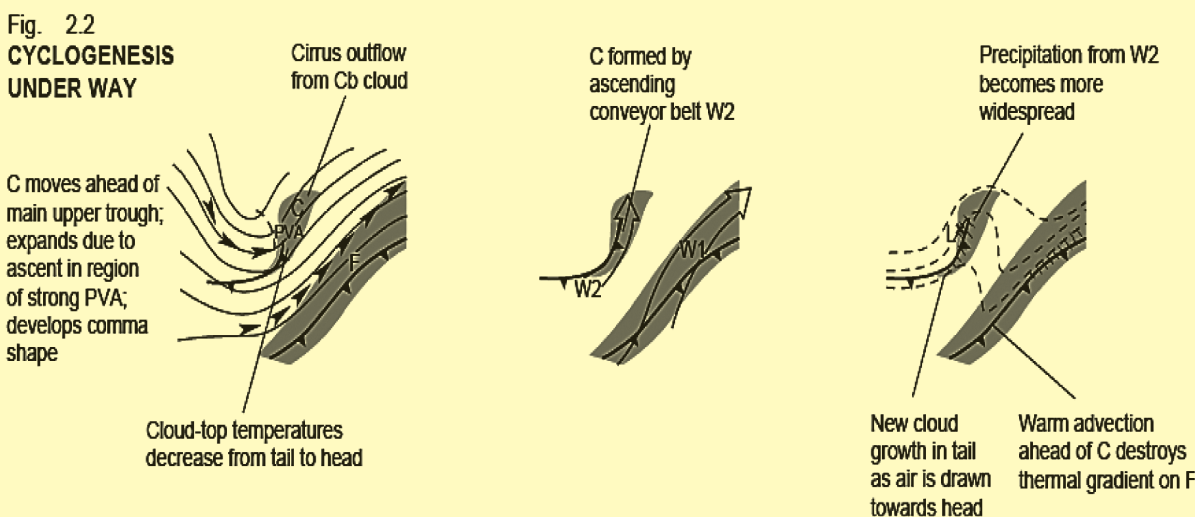
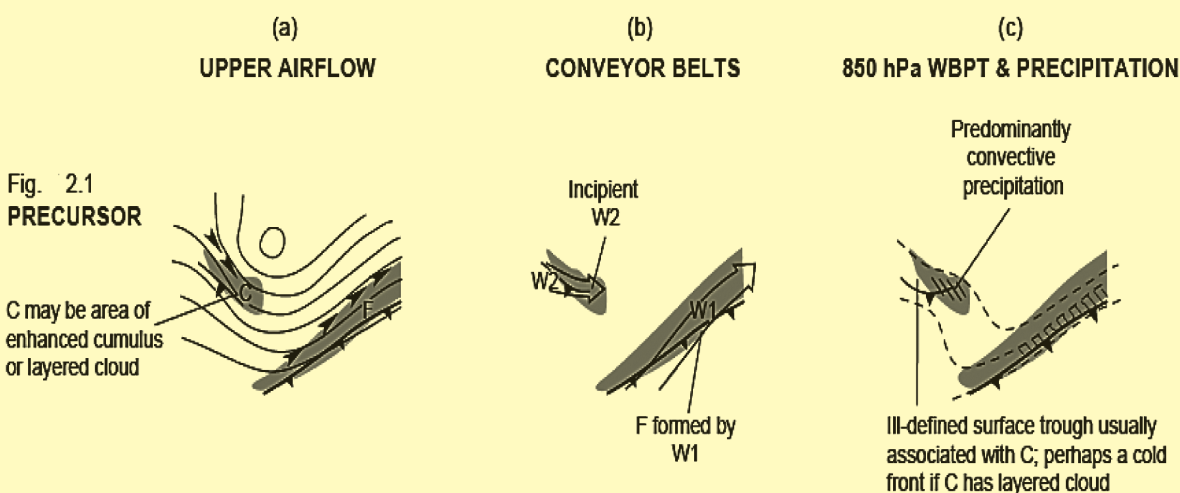
سحابة الكُما من الممكن أن تظهر بدايتها في

على أن تستكمل تولد المنخفضات عن طريق حزمة السحب الرئيسية للجبهة.

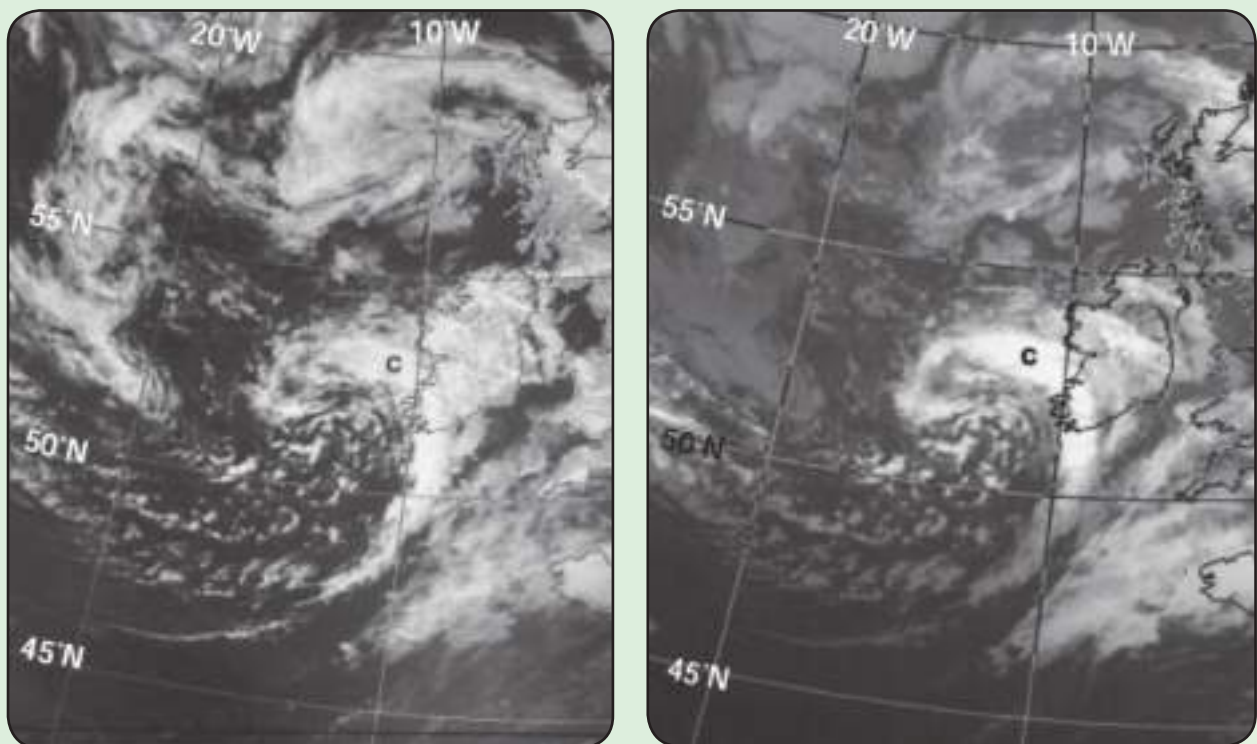
#### ١- التطوير عن طريق السحب الركامية الشديدة أو سحب الكُما (enhanced Cu or comma clouds)

يتولد هذا النوع من المنخفضات في أماكن حوض الهواء العلوي واسع النطاق (upper trough)، عادة مع التدفق الطبيعي أو التدفق المتجمع نسبياً Confluent flow. فإذا كان هناك تجمع من السحب الركامية القوية أو سحب الكُما Comma على منطقة ممتدة من الهواء البارد العلوي، سحابة من النوع C، مصاحبة لحوض علوي قصير الموجة قادمة من الجهة الباردة من مركز الترف العلوي الرئيسي، فإنه من الممكن أن تلتقي تلك السحب C مع حزمة السحب الرئيسية للجبهة الباردة F (شكل ١). وهذا يعتمد على المسافة الفاصلة بين السحب F و C.

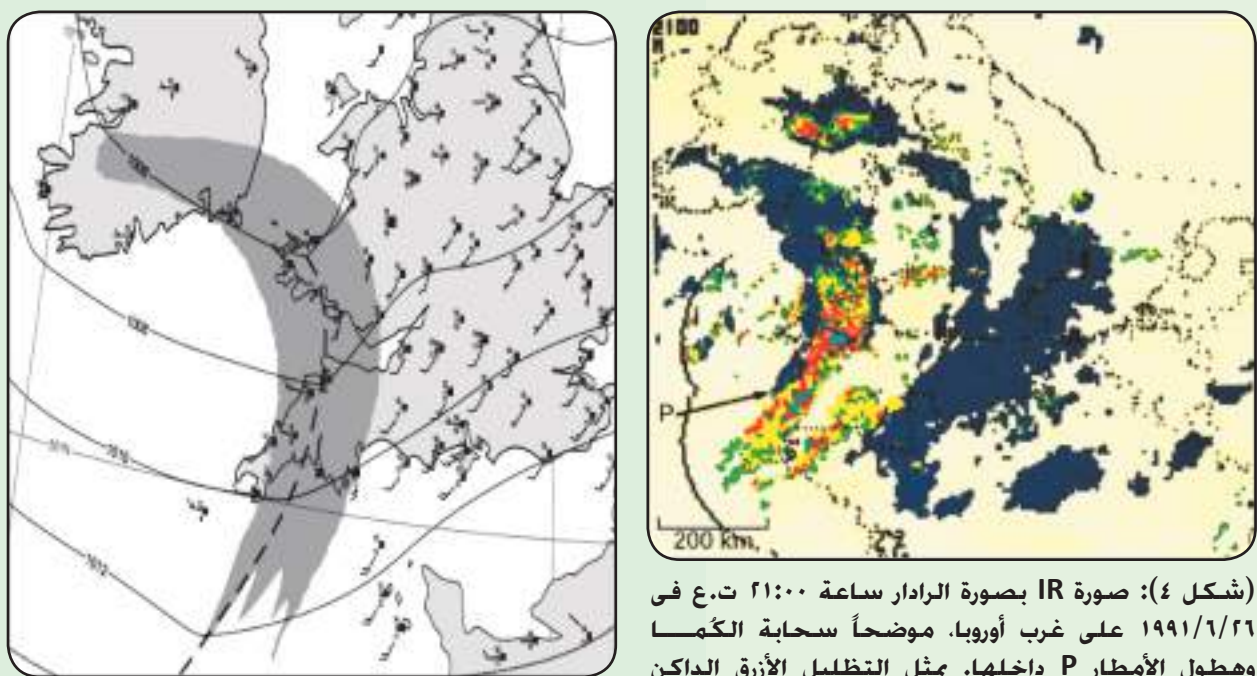
من الشائع أن تقتصر عملية تولد المنخفضات على الهواء البارد إذا كانت مسافتتها أكبر من حد معين. حددتها العالم Marshall (١٩٨٢) بمسافة



(شكل ٢): مخطط لتولد منخفضات العرض الوسطى في الهواء البارد العلوي على ٣٠٠ هـ.ب ومكان وشكل السحاب C & F كما يظهروا في صور الأشعة تحت الحمراء IR. (b) نموذج للتدفق الهوائي عن طريق احزم النقال W<sub>1</sub> & W<sub>2</sub> خطوط OW على ٨٥٠ هـ.ب وأماكن هطول الأمطار. شكل ١-١ مرحلة ما قبل تكون المنخفض. شكل ١-٢ مرحلة أثناء تكون المنخفض. شكل ٢-٣ مرحلة تطور المنخفض.

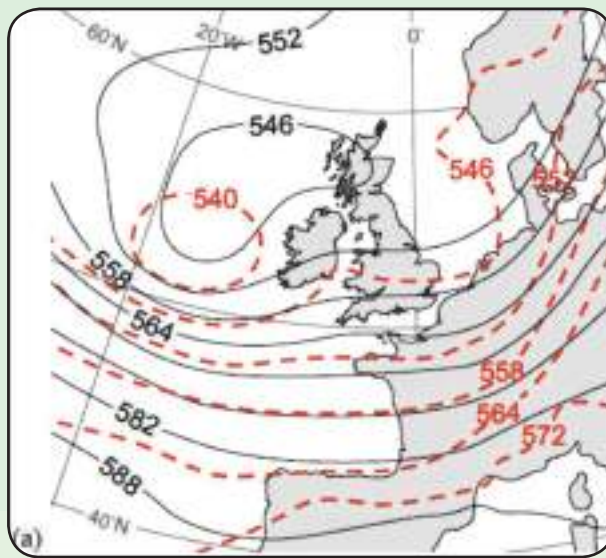


(شكل ٣): (a) الصورة المرئية VIS. (b) صورة الأشعة تحت الحمراء IR. على منطقة الأطلنطي وغرب أوروبا ساعة ١٥:٢٤ ت.ع. ليوم ٢١/٦/١٩٩١. السحابة C هي سحابة الكما.

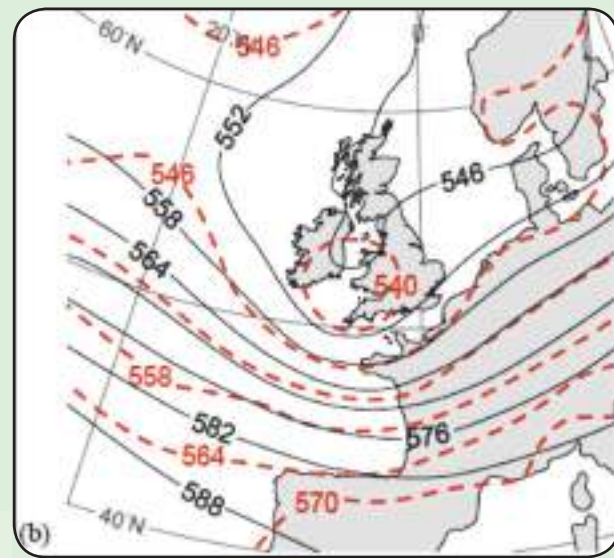


(شكل ٤): صورة IR بصورة الرادار ساعة ٢١:٠٠ ت.ع. في ١٩٩١/٦/٢١ على غرب أوروبا. موضحاً سحابة الكما وهطول الأمطار P داخلها. يمثل التظليل الأزرق الداكن درجات حرارة قمم السحب من ١٥ إلى ٤٥ درجة مئوية. تشير الألوان الأخرى إلى معدلات هطول الأمطار (مليметр/ساعة): الأخضر ١-٠,٣ والأصفر ١-٠,٣ والأحمر ٣-١ والأزرق الفاتح ٣٠-١٠.

(شكل ٥): خليل خريطة السطح مع رصدات المطرات في نفس وقت (شكل ٤) الخط الثقيل المتقطع يمثل موضع الموضع السطحي (الترف). ومنطقة السحابة الرئيسية الموجودة في صورة الأشعة تحت الحمراء IR



(a)



(b)

(شكل ١): خطوط الإرتفاعات (على مستوى ٥٠٠ هـ.ب) مع خطوط سماك الطبقة (١٠٠٠-٥٠٠ هـ.ب) (خطوط حمراء متقطعة) من مخرجات التنبؤات العددية (a) عند ساعة ١٢:٠٠ ت.ع في ٢١/١/١٩٩١. (b) عند ساعة ٠٠:٠٠ ت.ع في ٢٢/١/١٩٩١.

هذه المرحلة يمكن ملاحظة بعض الدوامات عند مشاهدة صور الأقمار الصناعية المتحركة مع عدم ظهور المنخفض الجوى على خريطة السطح. بالرغم من ذلك، فى غضون ١٢ ساعة (الشكل ٨)، تظهر سحابة الكـما واضحة مع منخفض جوى على خريطة السطح، مع وجود رياح سطحية قوية تصل إلى ٣٥ عقدة. ولم تتأثر السحابة الأمامية F بهذا التطور باستثناء تشكيل موجة الجبهة الرئيسية واقتراب السحابة C من السحابة F تميـداً لإندماجهم فى مرحلة نشاط المنخفض الجوى، (شكل ٩).

#### ٢- تولد منخفضات بتفاعل (اندماج) سحابة الكـما مع حزمة السحب الرئيسية للجبهة F:

##### ١- تولد المنخفضات بالإطباق الفورى

##### Instant Occlusion

يتم عرض أشكال التطور من (شكل ١-١٠) إلى (شكل ٣-١٠). (تشكيل السحب C فى مراحلها المبكرة من التطور تظاهر كما ذكرناها سابقاً فى الشكل ١-٢). من السمات الـهامة والواضحة فى هذا النوع هو تطور سحابة الـC وظهور سحابة الـN الجديدة بين C و F حيث يلتقي الإثنان معاً (شكل ٢-١٠) فى منطقة الحركة الصاعدة العنيفة أمام حوض الموجة القصيرة المتولدة. يعمل الغزو الدافئ الشديد

تحليل خريطة السطح كموجة قصيرة. بمرور الوقت، مع تطور وزيادة التباين الحرارى فى مكان الموجة القصيرة، تظهر مراحل تكون الجبهـة الباردة.

##### مثال ١:

شكل ٣ يبين نموذج واضح للسحابة C فى هواء المنطقة القطبية والتى تحتوى على سحب طبقية وحملية. وبعد خمس ساعات ونصف، فوق جزر بريطانيا، فإن السحابة C تكون مصاحبة لـ:

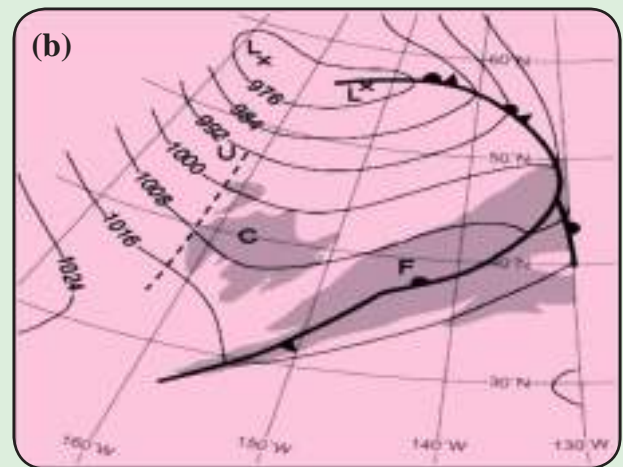
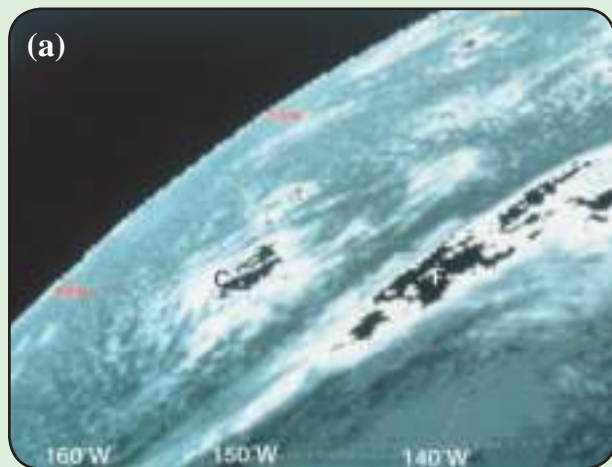
■ حزام الأهطلول P (شكل ٤) والموجود معه عناصر الحمل (هطول الأمطار الأكبر من ١٠ ملليميتراً ساعة فى بعض الأماكن، خصوصاً فى مؤخرة سحب الكـما C عند صعود الحزام النقال W٢ بسرعة، (شكل ٢).

■ ظهور الحوض الـهـوـائـى (التـرـفـ) عـلـى السـطـح بـوضـوح (شكل ٥).

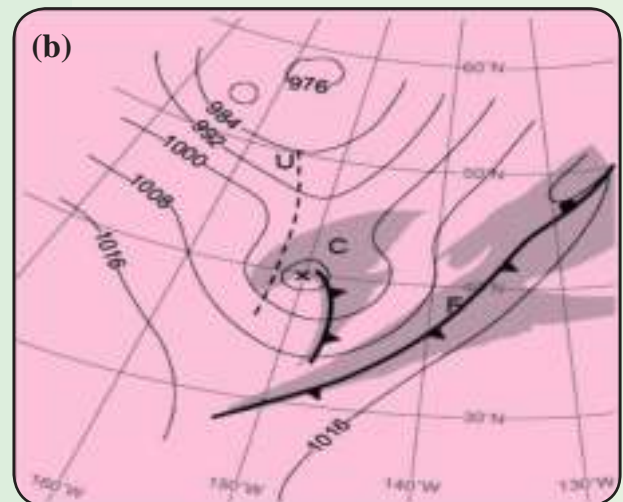
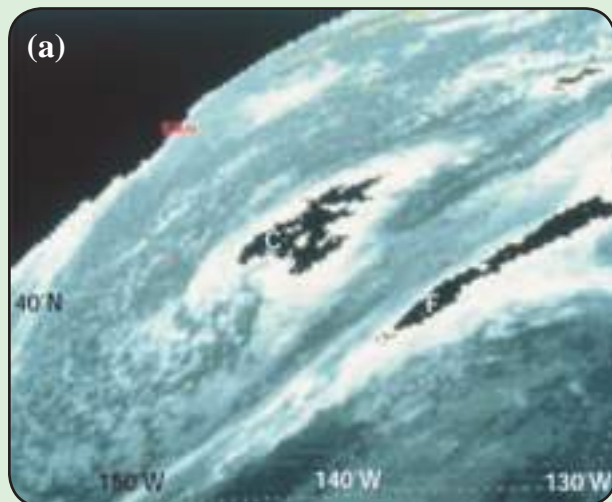
■ تطور التـرـفـ العـلـوى عـلـى سـمـوـى ٥٠٠ هـ. بـ نـتـيـجـةـ للـتـبـاـينـ الـحرـارـىـ الـذـىـ يـؤـدـىـ إـلـىـ ظـهـورـ الـغـزوـ الـهـوـائـىـ الـبـارـدـ فـىـ مـدـةـ ١٢ـ سـاعـةـ،ـ شـكـلـ ٦ـ.

##### مثال ٢:

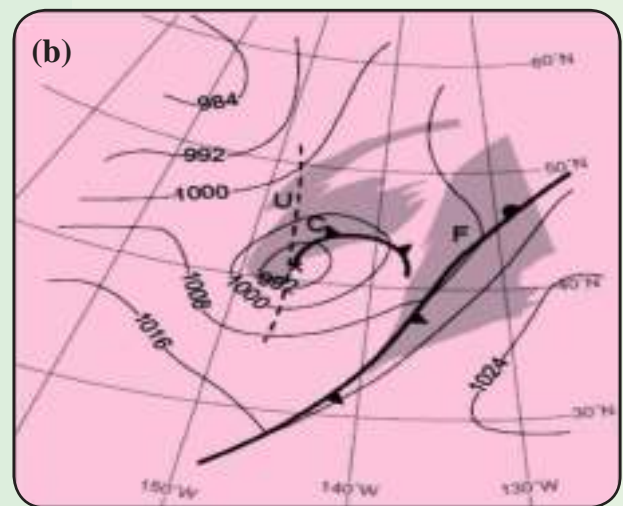
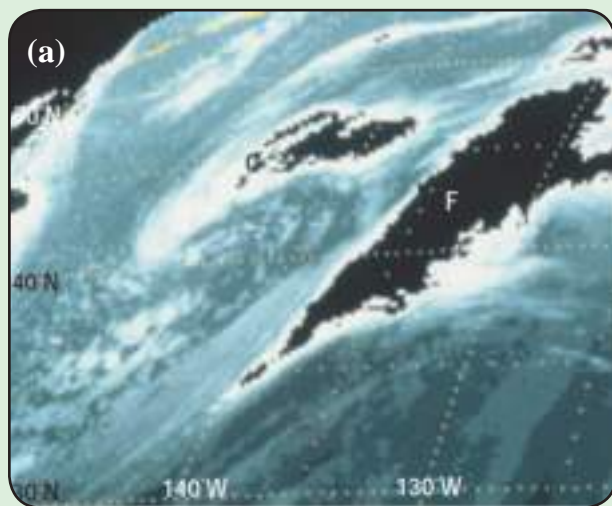
الأشكال من ٧ إلى ٩ توضح تولد منخفضات العروض الوسطى فوق المحيط الـهـادـئـ. منـطـقـةـ السـحـابـةـ Cـ (ـشـكـلـ ٧ـ)ـ تـظـهـرـ أـمـامـ الحـوضـ الـعـلـوىـ (ـالتـرـفـ)ـ لـاـ.ـ فـىـ



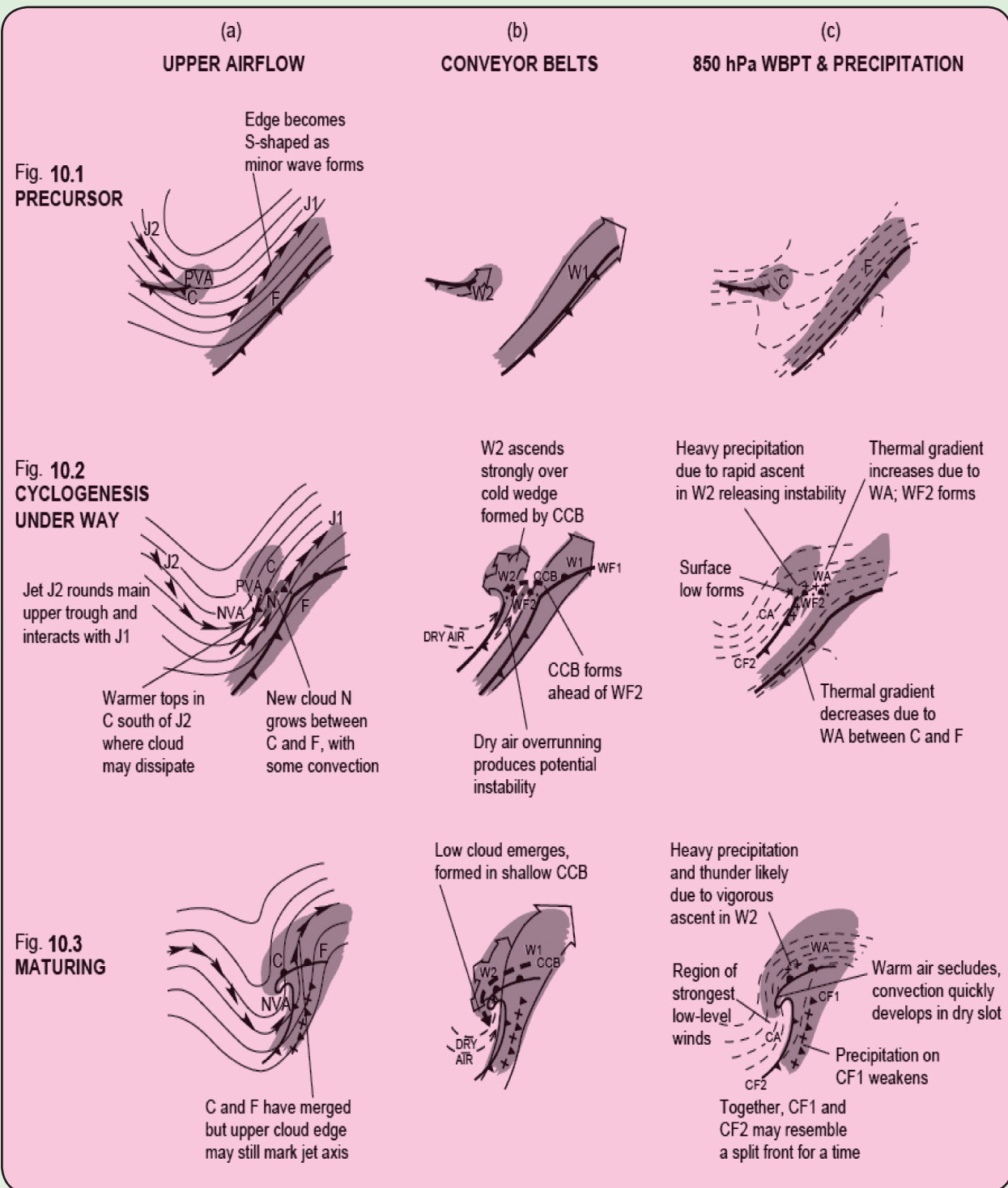
(شكل ٧): (a) صورة الأشعة تحت الحمراء GOES المحسنة ساعة ١٤:٠٠ ت.ع. في ١٢/١٩٨١ (قمم السحب الأبرد باللون الأسود).  
(b) خليل السطح ومناطق السحاب في نفس الوقت. الـ C و F تعبر عن مناطق السحب: يعبران عن الموضع العلوي (الترف).



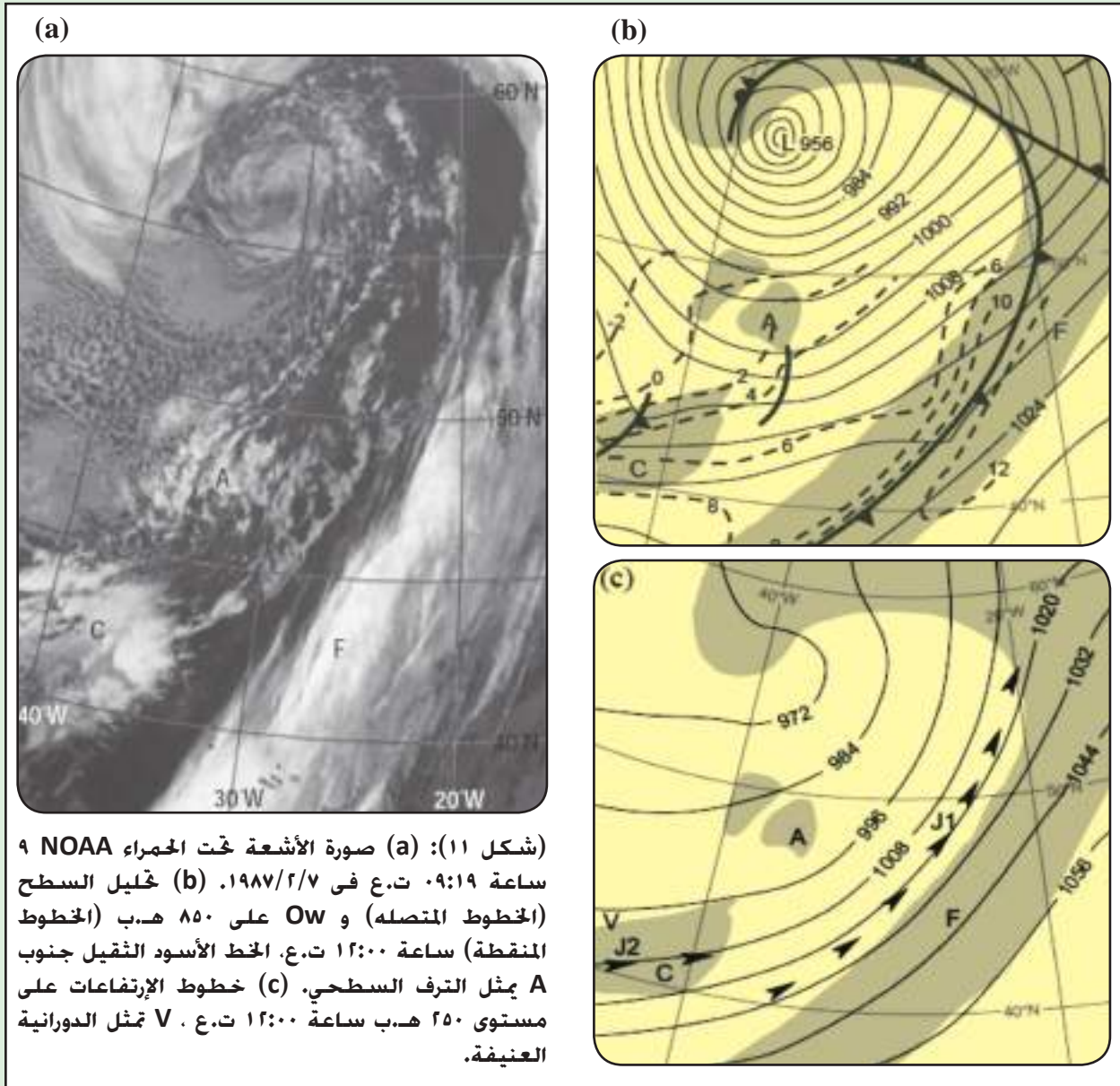
(شكل ٨): كما في (شكل ٧) عند ساعة ٠٠:٠٠ ت.ع يوم ٢١/١٢/١٩٨٦



(شكل ٩): كما في (شكل ٧) عند ساعة ١٢:٠٠ ت.ع يوم ٢١/١٢/١٩٨٦



(شكل ١٠): مخطط لتوليد منخفضات العروض الوسطى بتفاعل (اندماج) سحابة الكهـا مع حزمة السحب الرئيسية للجبهـ F. (a) نموذج التدفق العلوي على ٣٠٠ هـ.ب ومكان وشكل السحابـ C & F كما ظهرـوا في صور الأشعة تحت الحمراء IR. (b) نموذج للتدفق الهوائـي عن طريق الحزام النقال W٢ & W١ على مستوى ٨٥٠ هـ.ب وأماكن هطول الأمطار. شـكل ١-١٠ مرحلة ماقبل تكون المنخفضـ، شـكل ٢-١٠ مرحلة أثناء تكون المنخفضـ، شـكل ٣-١٠ مرحلة تطور المنخفضـ.



(شكل ١١): (a) صورة الأشعة تحت الحمراء NOAA ٩ ساعة ٠٩:١٩ ت.ع في ٢٧/٢/١٩٨٧. (b) خليل السطح (الخطوط المتصله) و ٠٠٠ على ٨٥٠ هـ.ب (الخطوط المنقطة) ساعة ١٢:٠٠ ت.ع. الخط الأسود الثقيل جنوب المنقطة A مثل الترف السطحي. (c) خطوط الارتفاعات على مستوى ٢٥٠ هـ.ب ساعة ١٢:٠٠ ت.ع . V مثل الدورانية العنيفة.

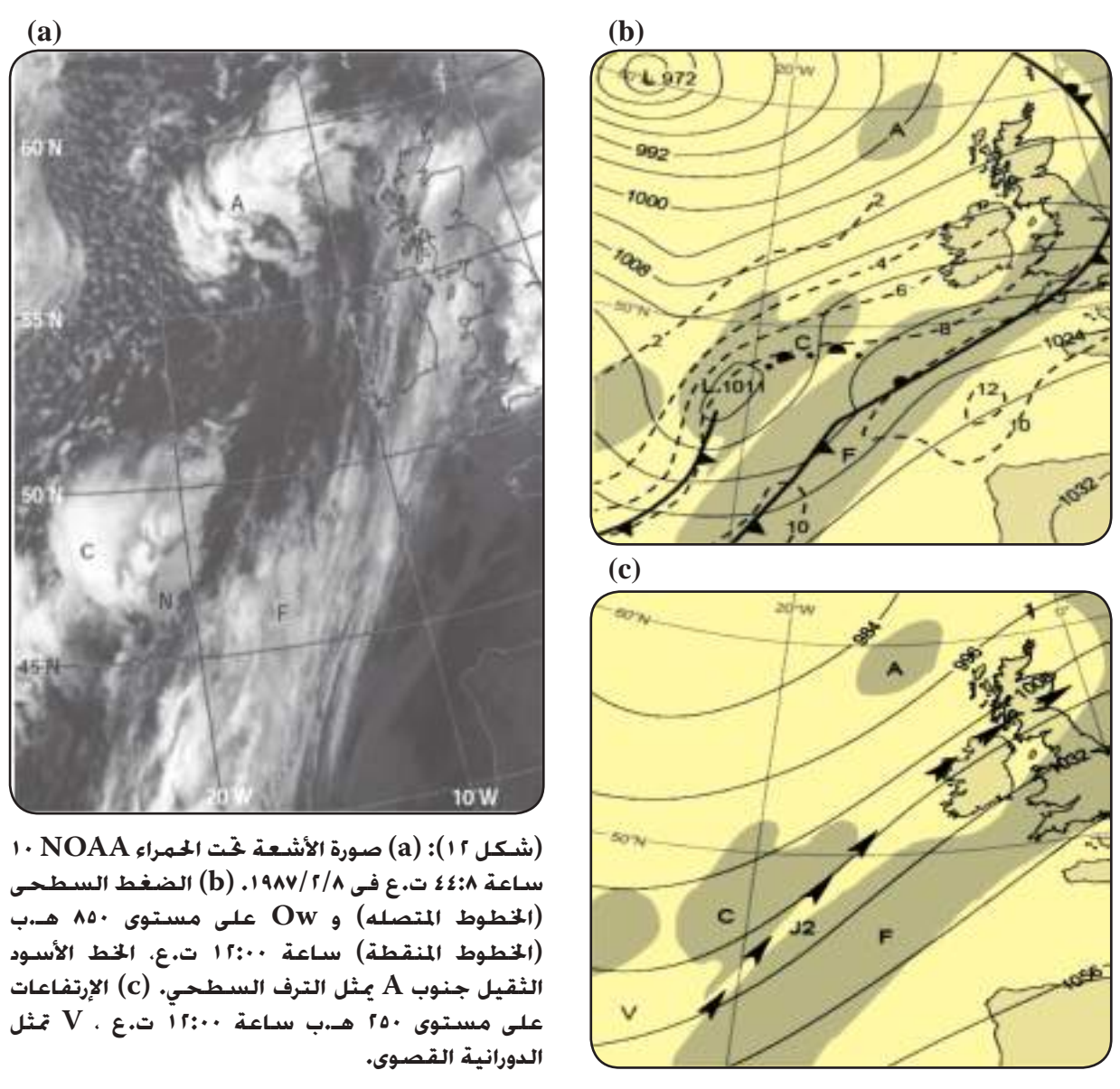
و C(الشكل ١١ (a)), أمام حوض (ترف) الموجة القصيرة ، يتحركوا حول حافة الترف العلوى المتسع (الشكل ١١ (b)). ولكن تتطور الـ C بشكل أسرع من السحابة A بسبب :

- الـ C تكون مصاحبة لدوامة شديدة (V) في الجانب البارد من التيار الهوائي النفاث J₂، (الشكل ١١ (c)).
- التباين والتدرج الحراري يكون أقوى بالقرب من السحابة C عنه من السحابة A مع ظهور غزو الهواء البارد (Cold Advection CA) بوضوح في

(WA: Warm Advection) أمام السحابة C في لعب دوراً هاماً على تطور التباين الحراري وبدوره يعمل على زيادة نشاط منطقة الجبهة نفسها. مع زيادة تعمق المنخفض الجوى على السطح، يتطور الحزام النقال البارد CCB والذي بدوره يساعد في إندماج السحب F و N و C.

**مثال:**

المثال التالي يوضح العديد من جوانب هذا النوع من التطور. هناك نوعان من السحب العنقودية A



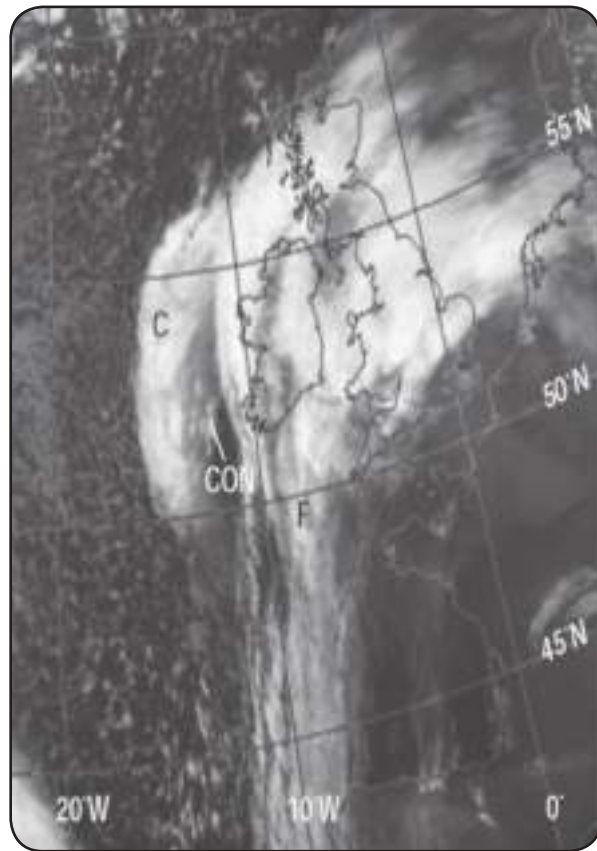
(شكل ١٢): (a) صورة الأشعة تحت الحمراء NOAA ساعدة ٤٤:٨ ت.ع فى ٢٨/٢/١٩٨٧. (b) الضغط السطحي (الخطوط المتصله) و  $Ow$  على مستوى ٨٥٠ ه.ب (الخطوط المنقطة) ساعدة ١٢:٠٠ ت.ع. الخط الأسود الثقيل جنوب A يمثل الترف السطحي. (c) الارتفاعات على مستوى ٢٥٠ ه.ب ساعدة ١٢:٠٠ ت.ع . V مثل الدورانية القصوى.

أمام الترف العلوى القوى (الشكل ١٢ (c)) ، والذى بدوره ينتج صعوداً قوياً يؤدى إلى تطور السحابة C. ظهور غزو دافئ (Warm Advection WA) يعزز من التباين فى قيم  $Ow$  على أمام السحابة C. مما يؤدى إلى تولد الجبهه الدافئه للسحابة C ويضعف تباين خطوط  $Ow$  على السحابة F (الشكل ١٢ (b)).

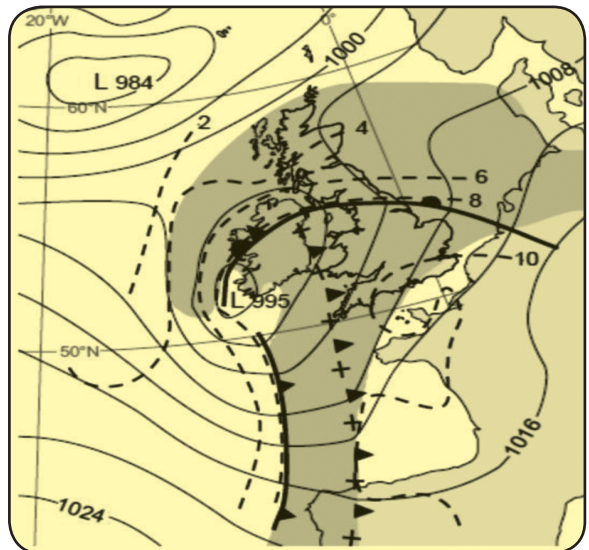
الجبهة الباردة (المترتبة بـ السحابة C) توضح الانتقال الأساسي للهواء البارد ، حيث يوجد غزو بارد

منطقة التدفق الصاعد للسحابة C. • السحابة C تغطي مساحة أكبر من السحابة A، كما أنها تحتوى على طبقة سحابية أكبر تيارات الحمل تكون أكثر وضوحاً وتأثيراً. علامات أخرى يمكن رؤيتها بوضوح في هذه الحالة وهي كالتالى:- نمو السحابه الجديد N (الشكل ١٢ (a)) تبدأ بملء الفراغ بين السحابتين C و F. كذلك ينشأ غزو دوامة موجبة (Positive Vorticity Advection PVA)

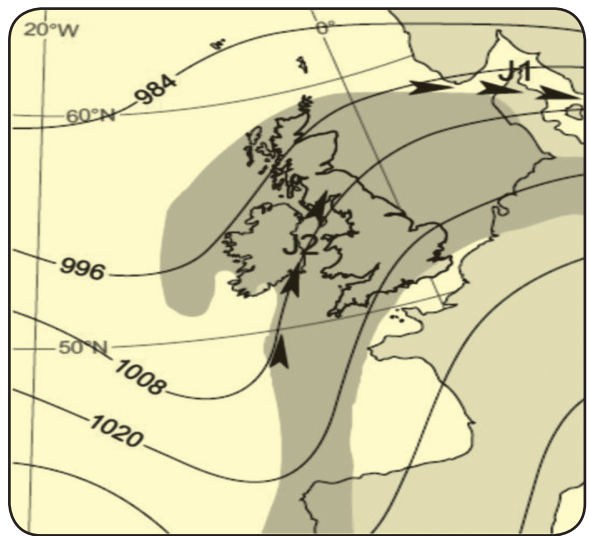
(a)



(b)



(c)



(شكل ١٣): (a) صورة الأشعة تحت الحمراء NOAA ١٠ ساعة ٢٢:٨ ت.ع في ٢٩/٢/١٩٨٧. (b) خليل السطح (الخطوط المتصلة) Ow على ٨٥٠ هـ.ب (الخطوط المنقطة) ساعة ١٤:٠٠ ت.ع. الخط الأسود الثقيل جنوب A مثل الترف السطحي. (c) الارتفاعات على مستوى ٥٥٠ هـ.ب ساعة ١٤:٠٠ ت.ع . V مثل الدورانية القصوى.

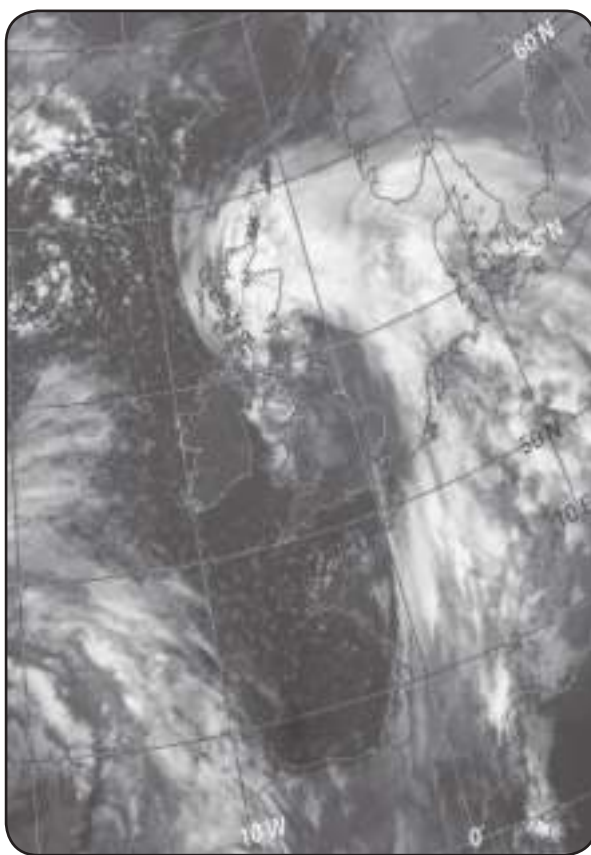
- تبدأ مقدمة السحابة F في التبدد (الشكل ١٣ (a)) وهي منطقة الهبوط جنوب المنخفض الجوي.
- في أغلب الأحيان ، يكتمل تعمق المنخفض الجوي عند إندماج السحابتين C و F. غالباً ما تكون منطقة الهواء الدافئ منحصرة بالقرب من مركز المنخفض. في هذا الخصوص يتكون منخفض جوي جديد عند نقطة الإنقاء الثلاثية (نقطة الإنقاء الجبهة الباردة والجبهة الدافئة وجبهة الإطباق) وتتعمق بمقدار ٢٠

قوى (CA) (الشكل ١٢ (b)).

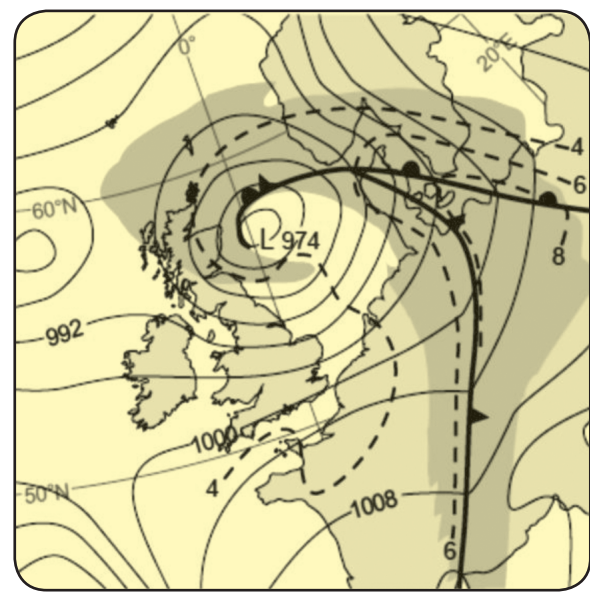
- تتطور السحابة C إلى شكل خطاف واضح (الشكل ١٣ (a))، حول الإنحناء الداخلي (حول مركز المنخفض) من التباين القوى لخطوط Ow على مستوى ٨٥٠ هـ.ب (الشكل ١٣ (b)).

- الهواء الجاف ، المتقدم من الجنوب ، يتحرك أعلى الهواء الرطب الدافئ بين السحابتين C و F؛ صعود كتلة هوائية بقوة بفعل جهد الهواء الغير المستقر، يؤدي إلى تشكيل سريع لرخات المطر والعواصف

(a)



(b)



(شكل ١٤): (a) صورة الأشعة تحت الحمراء NOAA ٣:٥٨ ت.ع في ١٠/٢/١٩٨٧. (b) خليل السطح (الخطوط المتصلة) و OW على ٨٥٠ هـ (الخطوط المنقطة) ساعة ١٢:٠٠ ت.ع. الخط الأسود الثقيل جنوب A يمثل الترف السطحي. (c) الارتفاعات على مستوى ٢٥٠ هـ بساعة ١٢:٠٠ ت.ع. V تمثل الدورانية القصوى.

فوق الأرض، قد يكون الجهة الاستوائية من السحابة F حالياً من السحب بسبب وجود الهواء الجاف على المستويات المنخفضة والذي بدورة يقلل تيارات الحمل التي تساهم بشكل رئيسي في بناء السحب وفي كثير من الأحيان يوجد بعض تيارات الحمل من الجهة الاستوائية وشرق مركز المنخفض الجوى الرئيسي وفي مقدمة الترف العلوى، ولكن لا يوجد بشكل واضح جبهة باردة محددة المعالم.

**مثال:**

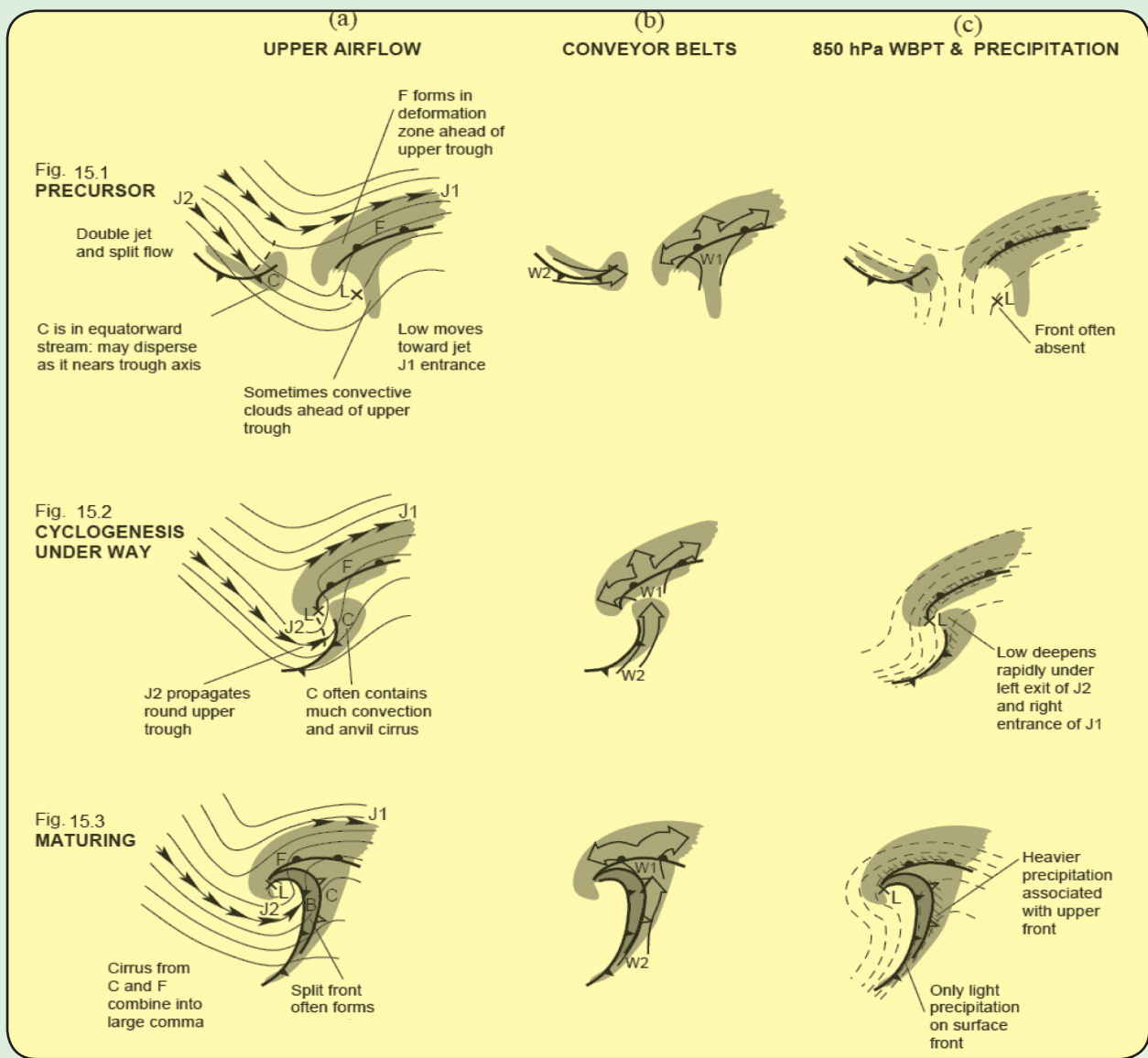
شكل ١٦ يُعد مثلاً نادراً على تولد منخفضات العروض الوسطى من إنفصال تدفق الهواء العلوى على شرق المحيط الأطلنطي وغرب أوروبا. شكل ١٧ يوضح توزيعات الارتفاعات في بداية الحاله على مستوى ٥٠٠ هـ، وتوزيعات الضغط على مستوى السطح في شكل ١٨ .(a)

هـ.ب (الأشكال ١٤ (b)، (a)) ، بسبب التيارات الصاعدة من الجهة اليسرى من مقدمة التيار الهوائى النفاذه ١٢ والجهة اليمنى من مؤخرة التيار الهوائى النفاذه ١١ (الشكل ١٣ (c)).

#### ٢- انفصال تدفق الهواء العلوى Split flow

يحدث تولد منخفضات العروض الوسطى من انفصال تدفق الهواء العلوى بشكل رئيسي في مناطق شرق سلاسل الجبال ولكن بصورة أقل تكراراً من الأنواع الأخرى.

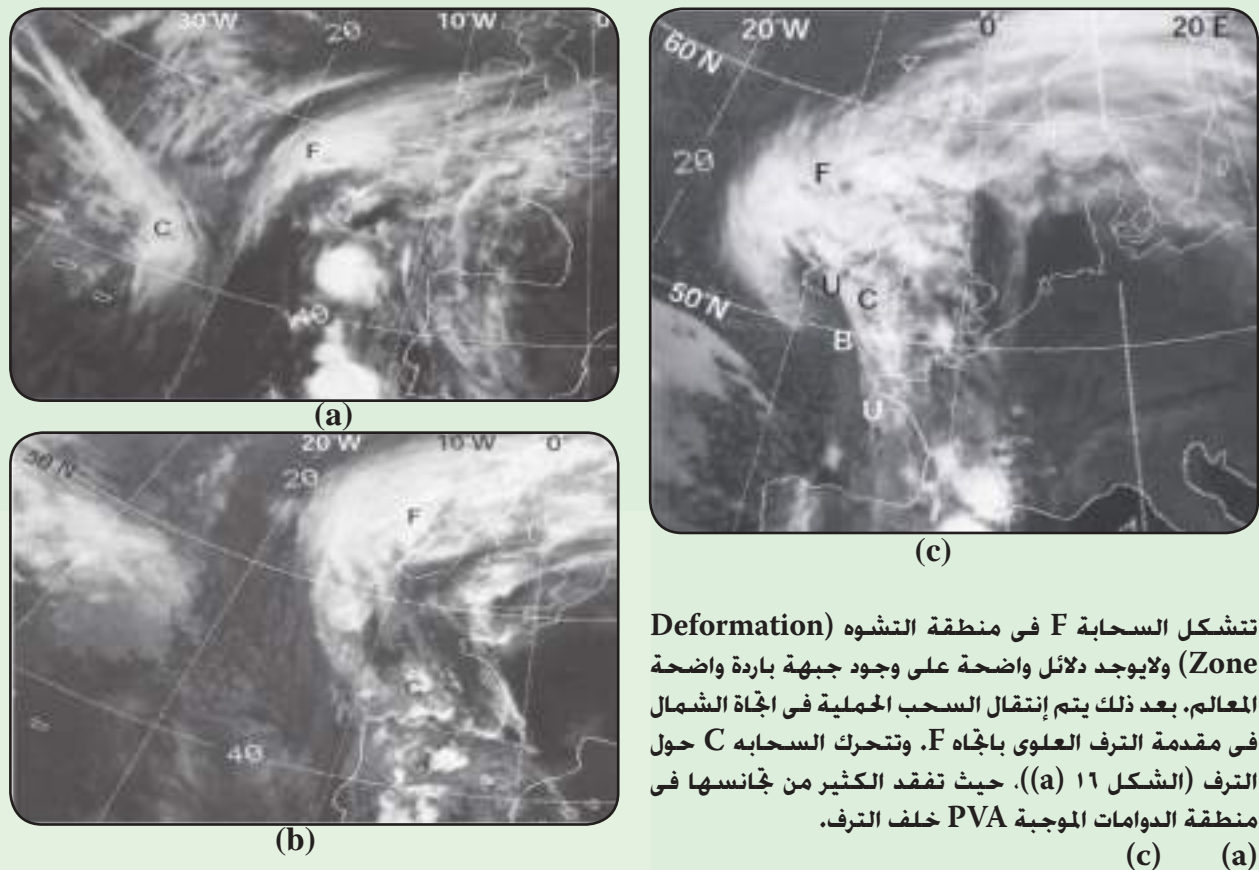
يمكن رؤية مراحل التطور لهذا النوع من تولد المنخفضات في العروض الوسطى من خلال التمذاج الموضحة في شكل ١٥. الفرق الرئيسي لهذا النوع عن الأنواع السابقة هو أن السحابة C تدور حول الترف العلوى الأساسى لتندمج مع السحابة F من جهة الجنوب (من مؤخرتها).



(شكل ١٥): مخطط لتولد منخفضات العروض الوسطى من إنفصال تدفق الهواء العلوي. (أ) نموذج التدفق العلوي على ٣٠٠ هـ.ب ومكان وشكل السحاب C & F كما يظهروا في صور الأشعة تحت الحمراء IR (ب) نموذج للتدفق الهوائي عن طريق الحزام النقال W٢ & W١. (ج) خطوط OW على مستوى ٨٥٠ هـ.ب وأماكن هطول الأمطار. شكل ١-١٥ مرحلة ماقبل تكون المنخفض. شكل ١٥-٢ مرحلة أثناء تكون المنخفض. شكل ١٥-٣ مرحلة تطور المنخفض. شكل ١٥-٤ مرحلة أثاء تكون المنخفض. شكل ١٥-٥ مرحلة تطور المنخفض.

في اليوم التالي، عندما تتحرك السحابة C باتجاه الشمال أمام الترف العلوي (شكل ١٦ (أ)، (ب))، تصبح السحابة منتظمة على طول نطاق الجبهة. وفي نفس توقيت الصورة في شكل (١٦ ب) فإن الضغط الجوي بمركز المنخفض يقل ليصل إلى ٩٩١ هـ.ب (شكل ١٨ ب). وبعد ١٢ ساعة يزداد تعمق المنخفض بأكثر من ١٣ هـ.ب. شكل (١٨ ج).

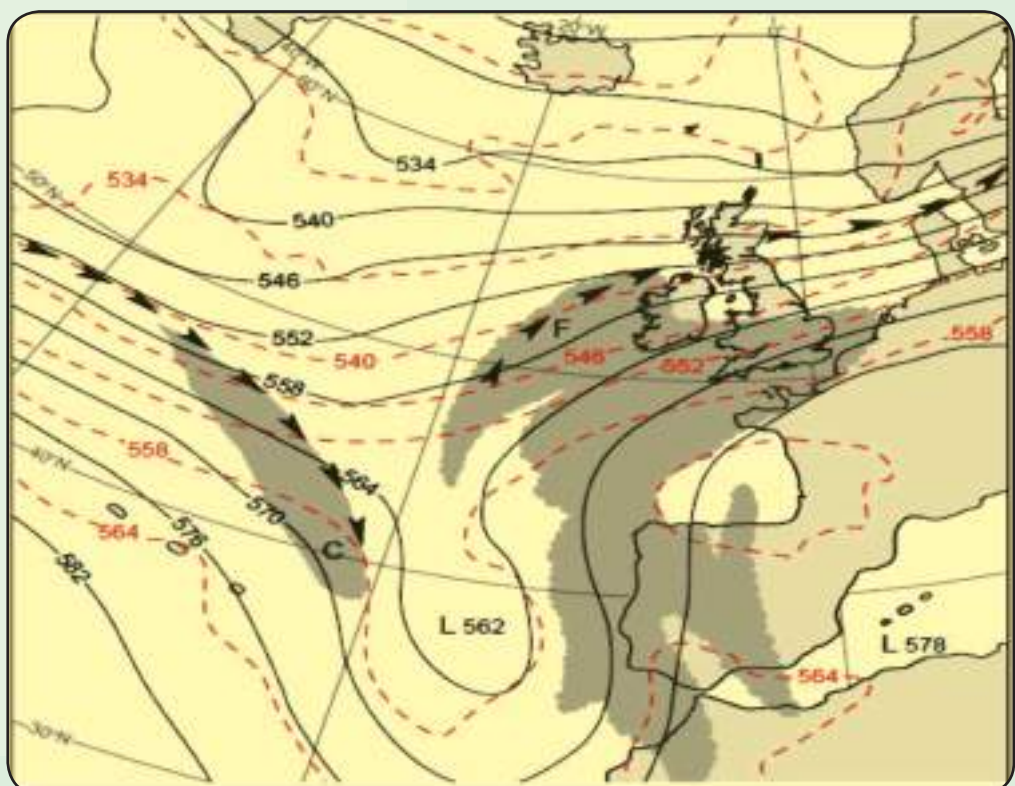
(ج) شكل ١٦: صور الأشعة تحت الحمراء من ميتيوسات (أ) ساعة ٠٩:٠٠ تـ.ع يوم ٢٦ أكتوبر ١٩٨٩، (ب) ساعة ١٢:٠٠ تـ.ع يوم ٢٧ أكتوبر، (ج) ٠٠ تـ.ع يوم ٢٨ أكتوبر. C و F هي أماكن السحب الرئيسية؛ المنطقة B تعبر عن قمم السحب الأكثر دفئاً وهي جزء من جبهة الانقسام Split Front (ج)؛ و UU هي الجبهة في طبقات الجو العليا.

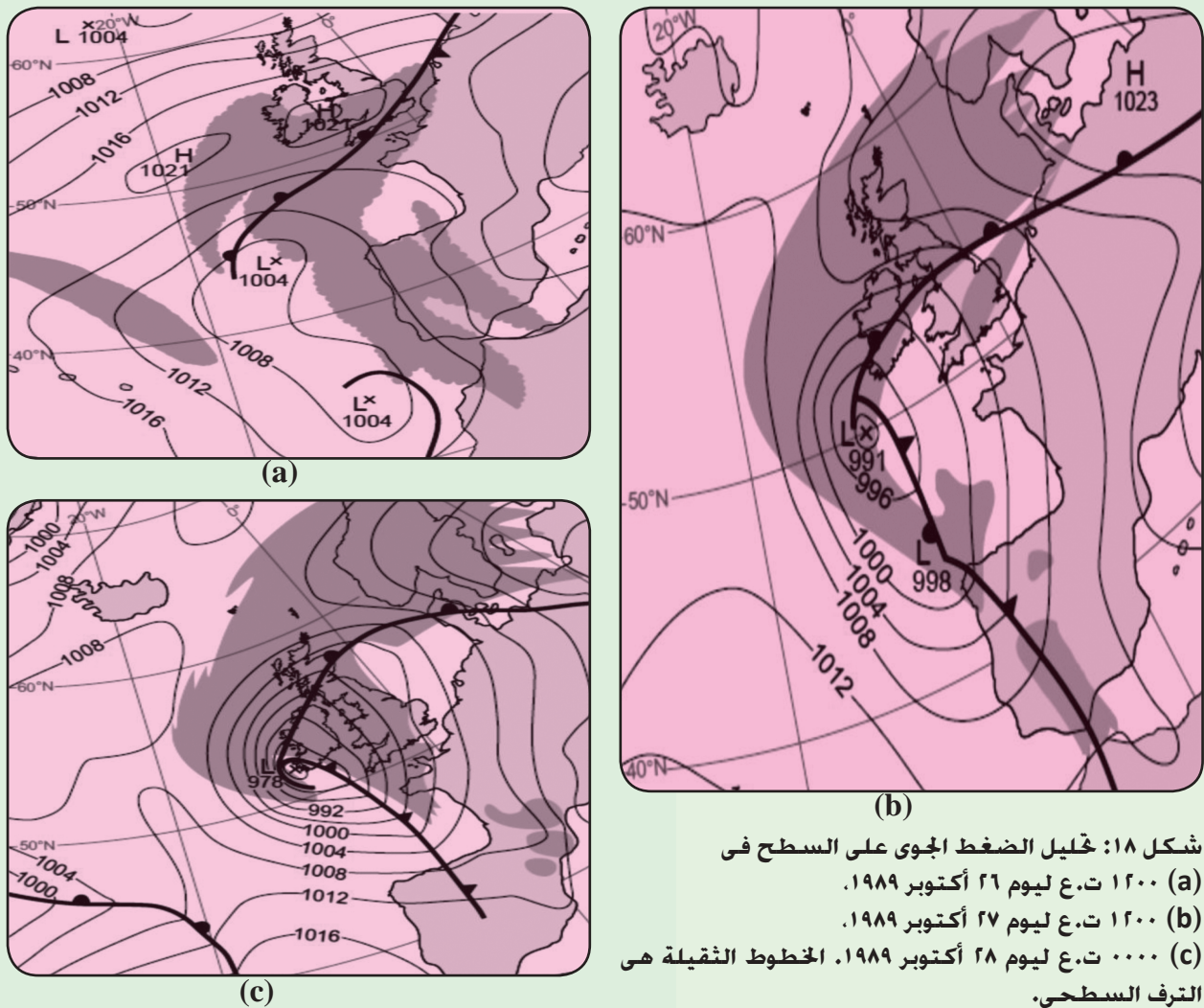


تشكل السحابة F في منطقة التشوه (Deformation Zone) ولا يوجد دلائل واضحة على وجود جبهة باردة واضحة في العالم. بعد ذلك يتم إنتقال السحب الحممية في اتجاه الشمال في مقدمة الترف العلوي باتجاه F. وتحرك السحابة C حول الترف (الشكل ١٦ (a)) حيث تفقد الكثير من جانسها في منطقة الدوامات الموجبة PVA خلف الترف.

(c) (a)

شكل ١٧: خليل  
التنبؤ العددى  
ساعة ١٤:٠٠ ت.ع  
يوم ٢٦ أكتوبر  
١٩٨٩ . يظهر  
خطوط الارتفاعات  
على مستوى ٥٠٠  
هـ.ب (خطوط  
متصلة سوداء).  
وخطوط سمك  
الطبقة ١٠٠٠-٥٠٠  
هـ.ب (خطوط  
حمراء متقطعة).  
و F C هما مناطق  
السحب الظاهرة  
في الشكل - ١٦ .





شكل ١٨: خليل الضغط الجوي على السطح في  
 (a) ٢١ أكتوبر ١٩٨٩.  
 (b) ٢٧ أكتوبر ١٩٨٩.  
 (c) ٢٨ أكتوبر ١٩٨٩. الخطوط التالية هي  
 الترف السطحي.

## المراجع

**M. J. Bader, G. S. Forbes, J. R. Grant, R. B. E. Lilley, A. J. Waters, (1995):**

Images in weather forecasting, A practical guide for interpreting satellite and radar imagery, Great Britain the University Press, Cambridge.

**Marshall, T. A. (1982)**

Weather Satellite Picture Interpretation (London, Directorate of Naval Oceanography and Meteorology, Ministry of Defense).

**McLennan, N. and L. Neil (1988):**

Marine bombs program (phase II). Pacific Region tech. note 88 - 002.

**Young, M. V. (1993):**

Cyclogenesis: interpretation of satellite and radar images for the forecaster. Forecasting Research division tech. report 73 (Bracknell, UK, Meteorological Office), unpublished.